

Metodele de izolare a elementelor C.I. și fișa tehnologică a circuitului

CIM - toate elementele se fac în interiorul cristalinului, și doar contactele se fac în exterior.

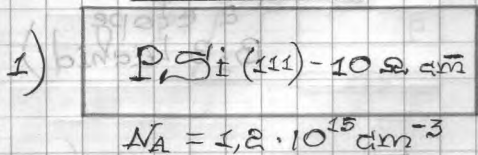
Metodele de izolare

- 1) Izolarea cu ajutorul PN joncțiunii.
(tehnologia standard, izolarea cu ajutorul bazei, izolarea cu ajutorul coleatorului, a 3 fotomăști).
- 2) Izolarea cu dielectrice (procesul epic)

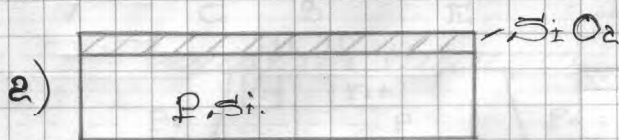
3) Izolarea recombinată (procesul vid și izoplanoar).

- Fișa tehnologică a metodei standard.
(această tehnologie este una dintre cele mai întrebuintate)

Placheta



Purificarea plachetei

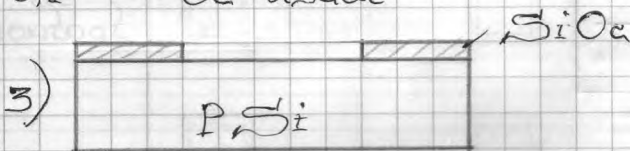


$X_{\text{SiO}_2} = 1 \mu\text{m}$

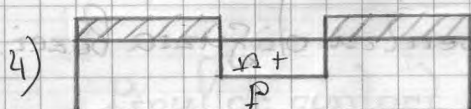
0,1 μm - O₂ uscat

0,8 - O₂ umed

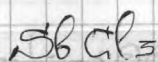
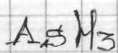
0,1 - O₂ uscat



foliografie
Masca Nr. 1



Diff. n+
str. îngh.



24.05.2014.



Corodare SiO₂ în HF
pentru ca în viitor să fie
crescut un strat epitaxial.



7)



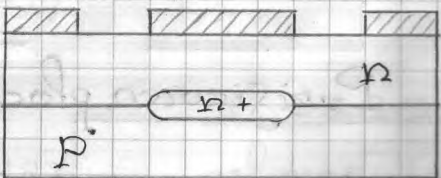
SiO₂

Oxidarea termică

$X_{SiO_2} \approx 1 \mu m$

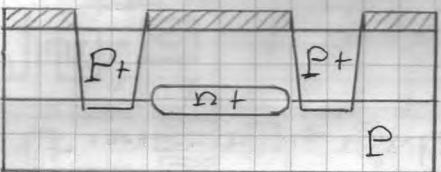
în 3 etape.

8) Litografia pe SiO₂ pentru difuzia de izolare

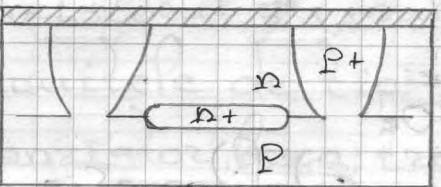


masca nr. 2 (Izolare în 2 etape B₃B lichid)

9)

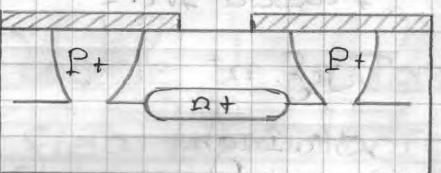


10)



SiO₂

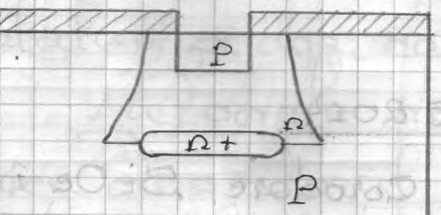
11)



masca nr. 3

pentru difuzia bazei.

12)

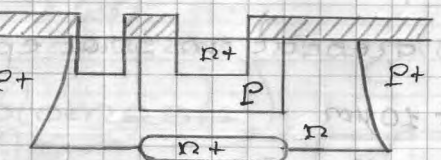


În 2 etape

difuzia în BBr₃-lichid

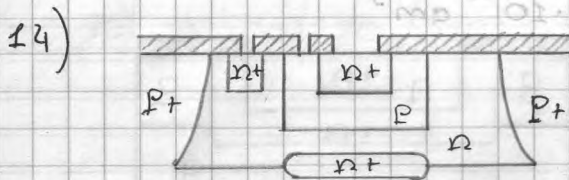
BN-solid.

13)

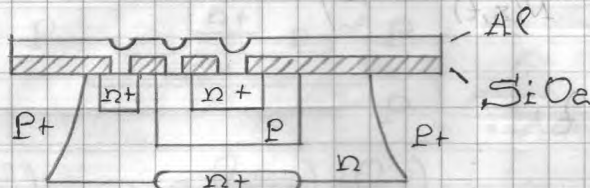


Oxidare +

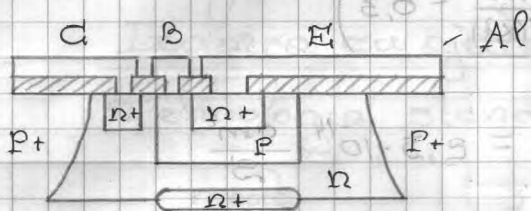
Fotolitografie cu masca 4
difuzia pentru emitor și
contact la colector.
(PCl₅, PH₃, etc).



15) Depunem materialul de contact (Al)

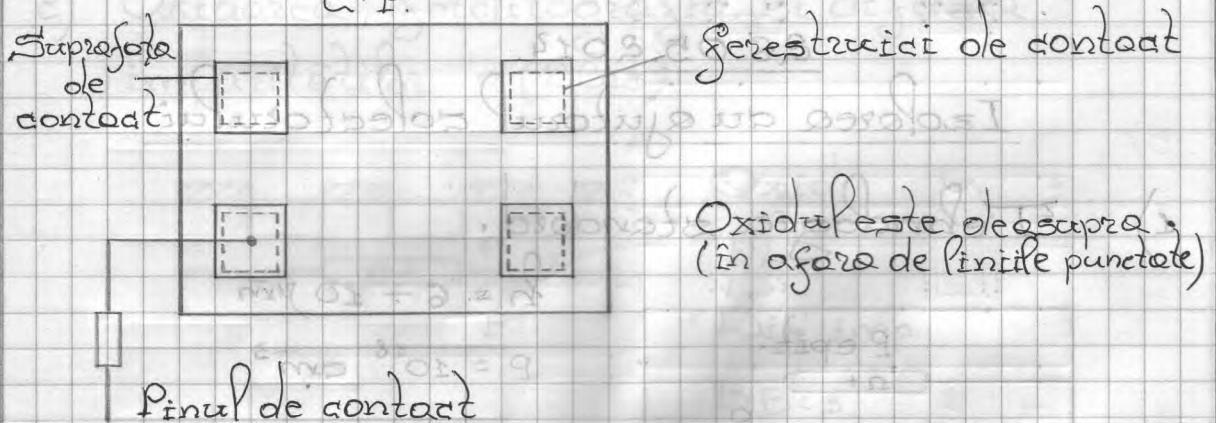


16)



Litografie, masca nr 2 pentru a crea traseie de contact.

18) Fotolitografia nr 7. (deschiderea fer. de contact)
A.P.

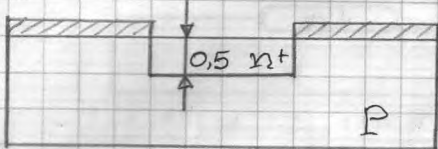


Procesul tehnologic sa terminat.

Practica

- 1) Determinati temp. de difuzie care se indeplineste intr-o singura etapa cu constanta la supr. Difuzia are loc in p Si cu $1 \mu\text{m}$
 $X_{p-n} = 0,5 \mu\text{m}$, $N_0 = 1,5 \cdot 10^{21} \text{ cm}^{-3}$, $t = 1 \text{ h}$

$$N_0 = 1,5 \cdot 10^{16} \text{ cm}^{-3}$$



$$X_{p-n} = 2\sqrt{Dt} \left(\sqrt{\ln \frac{N_0}{N(x,t)}} - 0,3 \right)$$

$$D = \left(\frac{2 X_{pn}}{\sqrt{\ln \frac{N_0}{N(x,t)}} - 0,3} \right)^2 t$$

$$X_{p-n}^2 = 4 Dt + \left(\sqrt{\ln \frac{N_0}{N(x,t)}} - 0,3 \right)^2$$

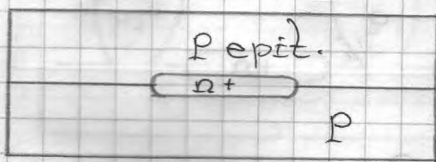
$$D = \frac{X_{pn}^2}{\left(\sqrt{\ln \frac{N_0}{N(x,t)}} - 0,3 \right)^2 t} = 2,3 \cdot 10^{-14} \frac{\text{cm}^2}{\text{s}}$$

$T = 1050^\circ\text{C}$ - luăm această valoare din tabel.

26.05.2014.

Izolarea cu ajutorul colectorului

1) Tehnologia standard.

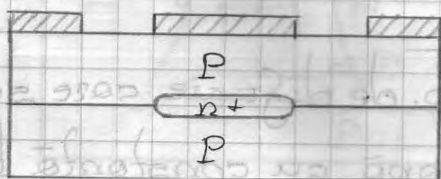


$$h = 6 \div 10 \mu\text{m}$$

$$p = 10^{18} \text{ cm}^{-3}$$

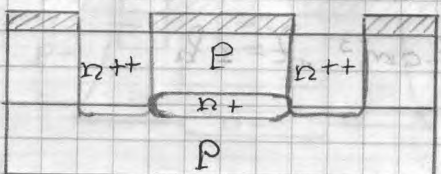
Oxidarea & litografia

2)



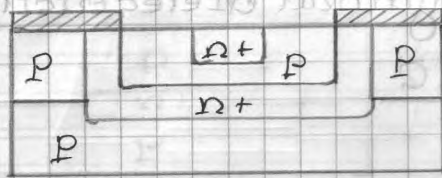
Oxid

F.L.

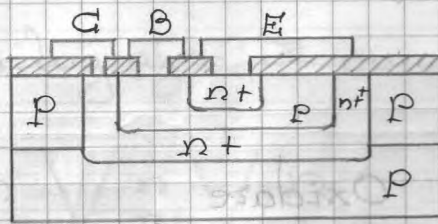


$$D = \frac{X^2}{t}$$

n++



Oxid
Fl.
Dif.



Regiunea de izolare este și colectorul tranzistorului.

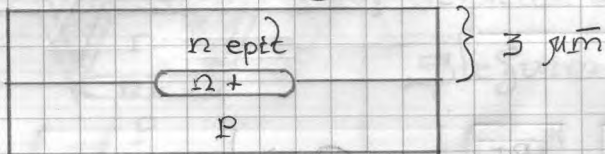
• Acest tip de tranzistor

nu poate fi folosit la tensiuni mari.

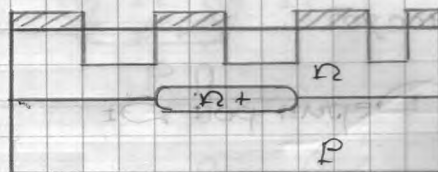
Izolarea cu ajutorul bazei

Tehnologia standard.

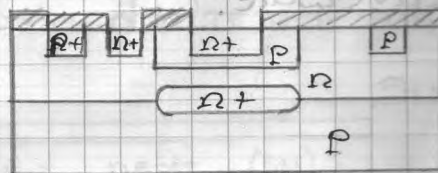
1)



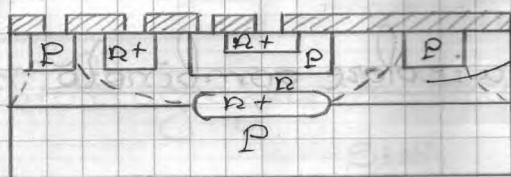
2) Oxidarea, fotolitografia și difuzia impurităților p (BBr₃)



Oxid
Fl
Dif imp.



BBr₃
Oxid
Fl
Dif n+ (E)
(Pcl₃)

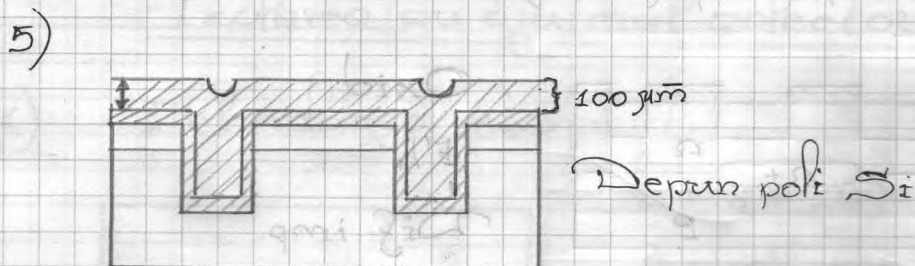
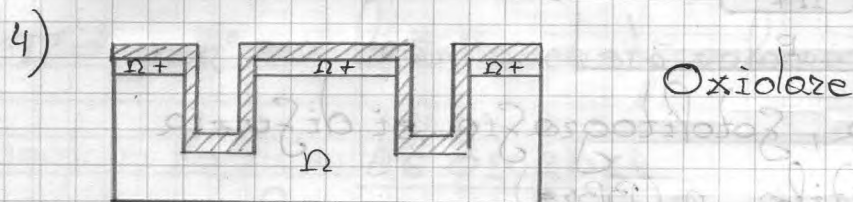
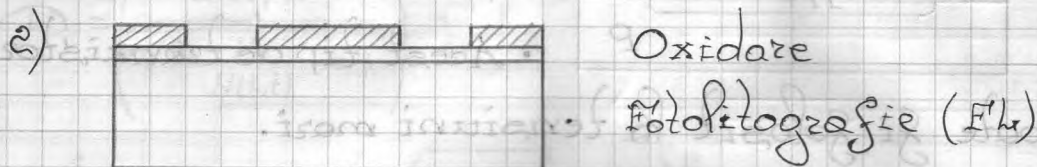
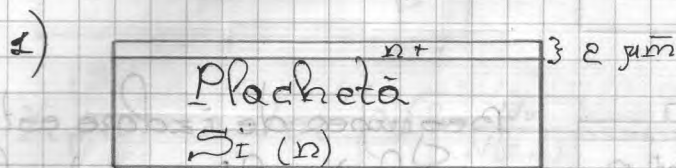


Regiunea sărăcită se mărește.

Neajunsul este necesitatea a 2 surse de alimentare.

Izolarea cu ajutorul dielectricilor

Procesul EPIC



6) Slefuire, poliere, inversare.

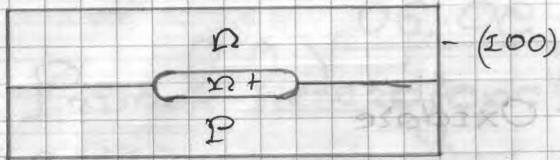


Tehnologie ca izolare combinată

1) Procesul VIP

2) Procesul izoplanar

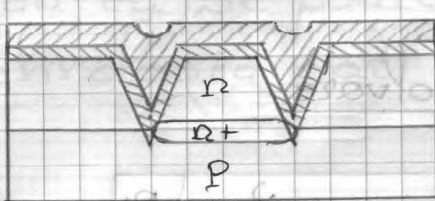
1) VIP - constă în formarea oricâte șanțuri sub forma literei V. 



2) Litografia & corodarea



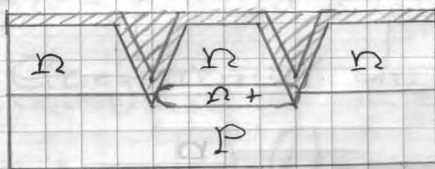
3) Oxidarea



Umplerea cu poli Si
Slefuit $10 \mu\text{m}$

4) După slefuire obținem:

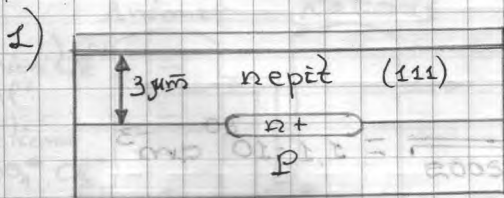
Poli Si



Tehnologia izoplanară

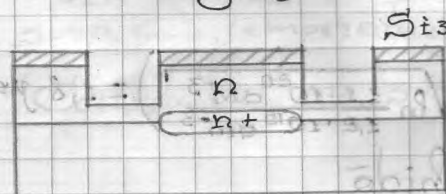
este una dintre cele mai întrebuintate tehnologii.

Si_3N_4 Tehnologia standard.



Depunerea Si_3N_4 (netuna de Si)
(nu se oxidează)

2) Fotolitografia & corodarea



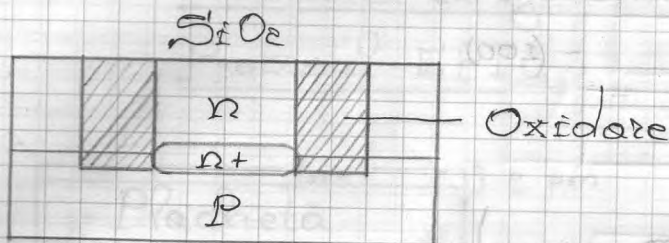
Corodare

Si_3N_4

Si

Inf. F.R.

3) Oxidarea.



28.05.2014

Problemă

La formarea regiunii bazei tr. se utilizează difuzia în 2 etape a Borului în pelicola de tipul n, cu concentrația:

Se dă:

Rezolvare

$$N_D = 1,2 \cdot 10^{15} \text{ cm}^{-3}$$

$$T_1 = 1050^\circ \text{C}$$

$$t = 10 \text{ min.}$$

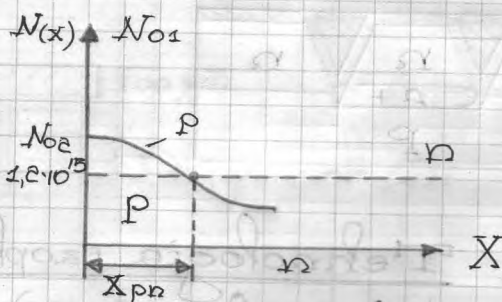
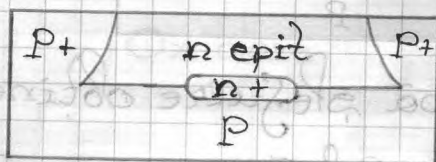
$$D_1 = 2,5 \cdot 10^{-14} \text{ cm}^2/\text{s}$$

$$T_2 = 1100^\circ \text{C}$$

$$t_2 = 2 \text{ h}$$

$$D_2 = 10^{-13} \text{ cm}^2/\text{s}$$

$$N_{O1} = 1,2 \cdot 10^{21} \text{ cm}^{-3}$$



$$X_{p-n} = 2\sqrt{D_2 t_2} \left(\sqrt{\ln \frac{N_{O2}}{N(x)}} \right)$$

$$N_{O2} = \frac{Q}{\sqrt{\pi D_2 t_2}} = \frac{5,24 \cdot 10^{15} \text{ cm}^{-2}}{\sqrt{3,14 \cdot 10^{-13} \text{ cm}^2/\text{s} \cdot 7200 \text{ s}}} = 1,1 \cdot 10^{20} \text{ cm}^{-3}$$

$$Q = 2 N_{O1} \sqrt{D_1 t_1 / \pi} = 2 \cdot 1,2 \cdot 10^{21} \text{ cm}^{-3} \sqrt{2,5 \cdot 10^{-14} \text{ cm}^2/\text{s} \cdot 600 / 3,14}$$

$$= 5,24 \cdot 10^{15} \text{ cm}^{-2}$$

$$X_{p-n} = 2 \sqrt{10^{-13} \text{ cm}^2/\text{s} \cdot 7200 \text{ s}} \cdot \left(\sqrt{\ln \frac{1,1 \cdot 10^{20} \text{ cm}^{-3}}{1,2 \cdot 10^{15} \text{ cm}^{-3}}} \right) = 1,8 \text{ } \mu\text{m}$$

Epitaxia din gaze lichidă